

# بهبود خواص سطحی الاستومر پلی دی متیل سیلوکسان با لیزر: فنی نو برای تهیه پلیمرهای خون سازگار - ۱

PDMS Surface Modification by Laser Irradiation: A Novel Technique for the Preparation of Blood Compatible Polymers-I

محمد تقی خراسانی<sup>۱</sup>، احمد میرزاده<sup>۱</sup>، پیتر سامر<sup>۲</sup>

۱- مرکز تحقیقات پلیمر ایران، ۲- دانشگاه برونل انگلستان

دریافت: ۷۴/۳/۶ پذیرش: ۷۴/۳/۲۱

## چکیده

برای بهبود خون سازگاری الاستومر پلی دی متیل سیلوکسان (PDMS)، سطح این پلیمر در دمای معمولی و در مجاورت هوا بدون استفاده از حساس کننده های نوری در معرض تابش پرتو لیزر ضربه ای کربن دیوکسید قرار گرفته و تغییرات شیمیایی سطح اصلاح شده به کمک دستگاه بازنایندگی کلی تعییف شده زیر قرمز تبدیل فوریه (ATR-FTIR) و تجزیه انرژی نمکی کی پرتو ایکس (EDXA) بررسی شده است. در ضمن، شکل شناسی سطح نمونه ها به وسیله میکروسکوپ الکترونی بوسی (SEM) مورد مطالعه قرار گرفته و میزان آبزدایی نمونه ها از راه تعیین زاویه تماس قطره های آب با سطح نمونه های اصلاح شده اندازه گیری و با نمونه شاهد مقایسه شده است.

نتایج نشان می دهد که نسبت اتم اکسیژن به اتم سیلیسیم (O/Si) در زنجیر پلیمر لایه سطحی پس از پرتو دهی افزایش قابل توجهی پیدا می کند که نشان دهنده اکسایش شدید در سطح نمونه های تابش دیده است. نتایج طیفهای ATR-FTIR نیز در توافق با نتایج مذکور نشان می دهد که سطح نمونه های تابش دیده دارای گروههای کربنات است که آن را اکسیرن غنی ساخته است. تصاویر میکروسکوپ الکترونی وجود شکل شناسی ویرهای را نشان می دهد. بدین ترتیب که سطح پلیمر اصلاح شده به صورت متخلخل و یکنواخت است. همچنین تغییرات زاویه تماس قطره آب با سطح، ماهیت ابر آبزدایی سطح PDMS را تایید می کند. تجزیه گرمایی مکانیکی - دینامیکی (DMTA) هیچ گونه تغییری را در خواص مکانیکی فیلم PDMS بعد از پرتو دهی به وسیله لیزر ضربه ای کربن دیوکسید نشان نمی دهد. با اندازه گیری ضربی اصطکاک معلوم می شود که نمونه های اصلاح شده ضربی اصطکاک بسیار کمتری نسبت به نمونه اصلاح نشده دارند.

واژه های کلیدی: لیزر ضربه ای CO<sub>2</sub>، اصلاح سطحی، آبرآبزدایی، خون سازگاری، شکل شناسی

Key Words: CO<sub>2</sub> pulse laser, surface modification, super-hydrophobicity, blood compatibility, morphology

## مقدمه

استفاده از پرتو لیزر برای انجام واکنشهای شیمیایی مزینهای زیادی در برخی از مشخصات مهم پرتو لیزر محدوده طول موج نمونه تنظیم کرد. پرتو لیزری با طول موج معین انرژی موثر برای انجام

استفاده از پرتو لیزر برای انجام واکنشهای شیمیایی مزینهای زیادی در برخی از مشخصات مهم پرتو لیزر محدوده طول موج نمونه تنظیم کرد. پرتو لیزری با طول موج معین انرژی موثر برای انجام

با وجود این مزیتها پرتوهای مواد پلیمری با پرتو لیزر بیوسته در سطح آنها ایجاد گرما می‌کند و ممکن است باعث تخریب سطح و توده داخلی پلیمر شود. در حالی که در لیزرهای ضربه‌ای (pulsed laser) زمان روشناختی لیزر بینهایت کوتاه بوده ( $100\text{ ns}$ ) و تخریب گرمایی با تنظیم زمان تکرار ضربه‌ها (سرعت تکرار ضربه) به حداقل می‌رسد [۱-۵، ۷].

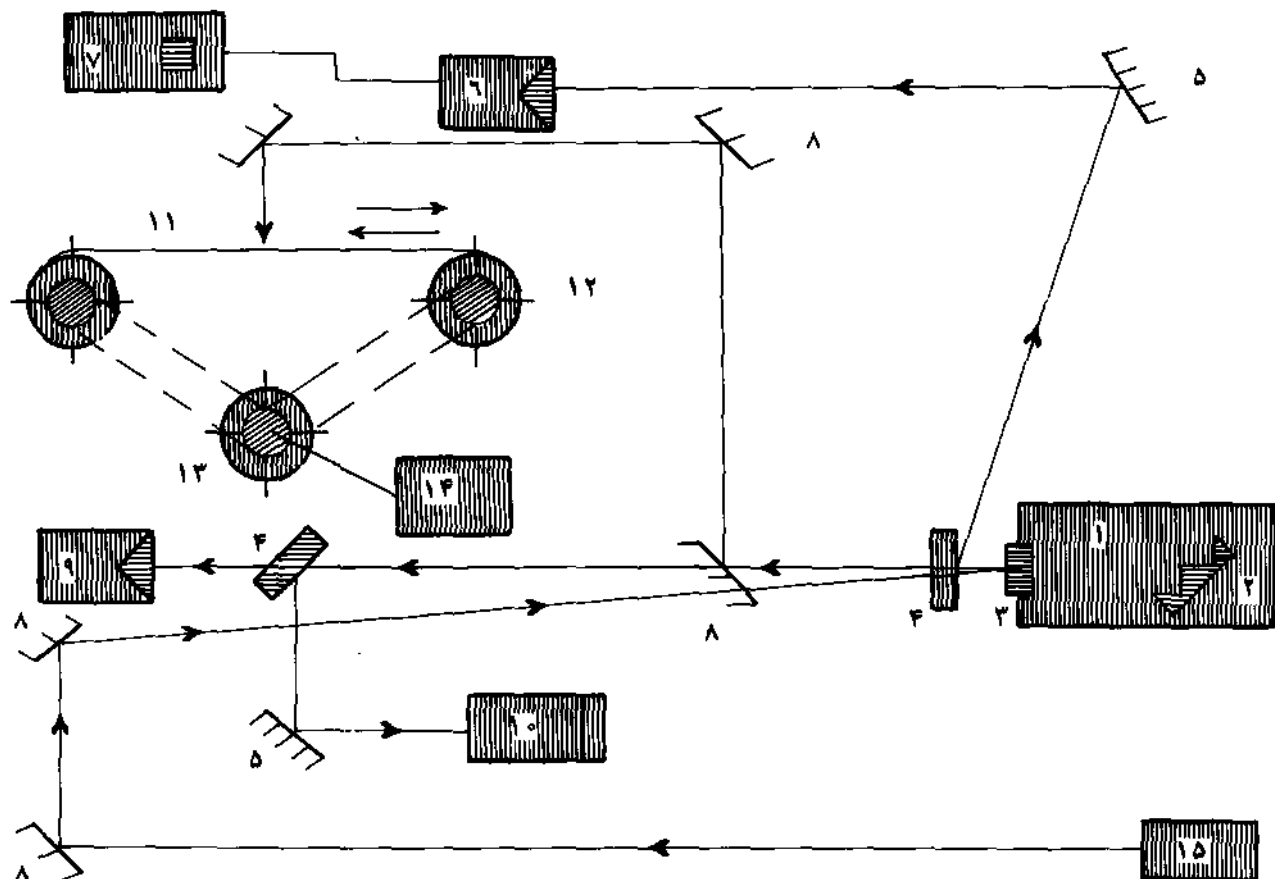
الاستورم پلی‌دی‌متیل‌سیلوکسان (PDMS) خواص بسیار برجهتی‌ای دارد، مانند مقاومت گرمایی زیاد و مقاومت در برابر اوزون و مواد شیمیایی [۸، ۹]. از این پلیمر به طور گسترده به عنوان ماده‌ای زیست سازگار در کاربردهای مختلف پژوهشی استفاده می‌شود [۱۰، ۱۱]. با وجود این، مقالاتی در مورد نارسایهای آن در کاربردهای بلندمدت گزارش شده است [۱۱].

گزارش شده است که پلیمرهای ابرآبدوست (super-hydrophilic) و ابرآبزدا (super-hydrophobic) به ترتیب به

فرایند شیمیایی را فراهم می‌کند بدون اینکه لازم باشد کل سیستم واکنش تحت تاثیر قرار گیرد [۵، ۶]. از طرفی، بهبود خواص سطحی پلیمرها به وسیله لیزر یک روش مطمئن و بی‌نظیر است. در این روش تغییر قابل توجهی در خواص توده داخلی پلیمر ایجاد نمی‌شود [۲-۴، ۶]. همچنین اصلاح سطح با استفاده از لیزر چندین مزیت دارد:

- اصلاح سطوح معین و خاص که با روش‌های معمولی شیمیایی امکان پذیر نیست.

- بکر و عاری بودن سطوح اصلاح شده از مواد شیمیایی ناهمگن به دلیل تغییرات کم گروههای شیمیایی یا واکنشهای جانبی [۶-۱۰].
- نازکی قابل توجه لایه سطحی پلیمر اصلاح شده که به همین دلیل این سطوح کاملاً به توده داخلی چسبیده و متصل است و در واقع پس از تابش لیزری یک چند سازه (composite) جدید حاصل می‌شود.
- بهبود خواص سطح پلیمر و امکان تولید زیست سازگارهای پلیمری و پروتئین‌های پژوهشی با این فن [۲-۴، ۶].



شکل ۱ - نمودار لیزر ضربه‌ای کربن دیوکسید برای اصلاح سطح PDMS: (۱) لیزر ضربه‌ای کربن دیوکسید، (۲) توری  $150\text{ L/mm}$ ، (۳) آینه ژرمانیم، (۴) بلور  $\text{NaCl}$ ، (۵) آینه انعکاس کامل (شعاع  $20\text{ cm}$ )، (۶) آشکارساز فوتون، (۷) نوسان‌نمای  $50\text{ cm}^{-1}$  مگاهرتز ( $7844\text{ Hz}$ )، (۸) آینه انعکاس کامل، (۹) قدرت سنج، (۱۰) آنالیزور طیف  $\text{CO}_2$ ، (۱۱) فیلم PDMS، (۱۲) قرقه دور، (۱۳) جعبه تنظیم سرعت موتور، (۱۴) موتور، (۱۵) لیزر هلیم - نئون.

### تجربی

در این بخش وولکانش PDMS و روش پرتودهی به ترتیب بحث می‌شوند.

#### روشها و دستگاهها

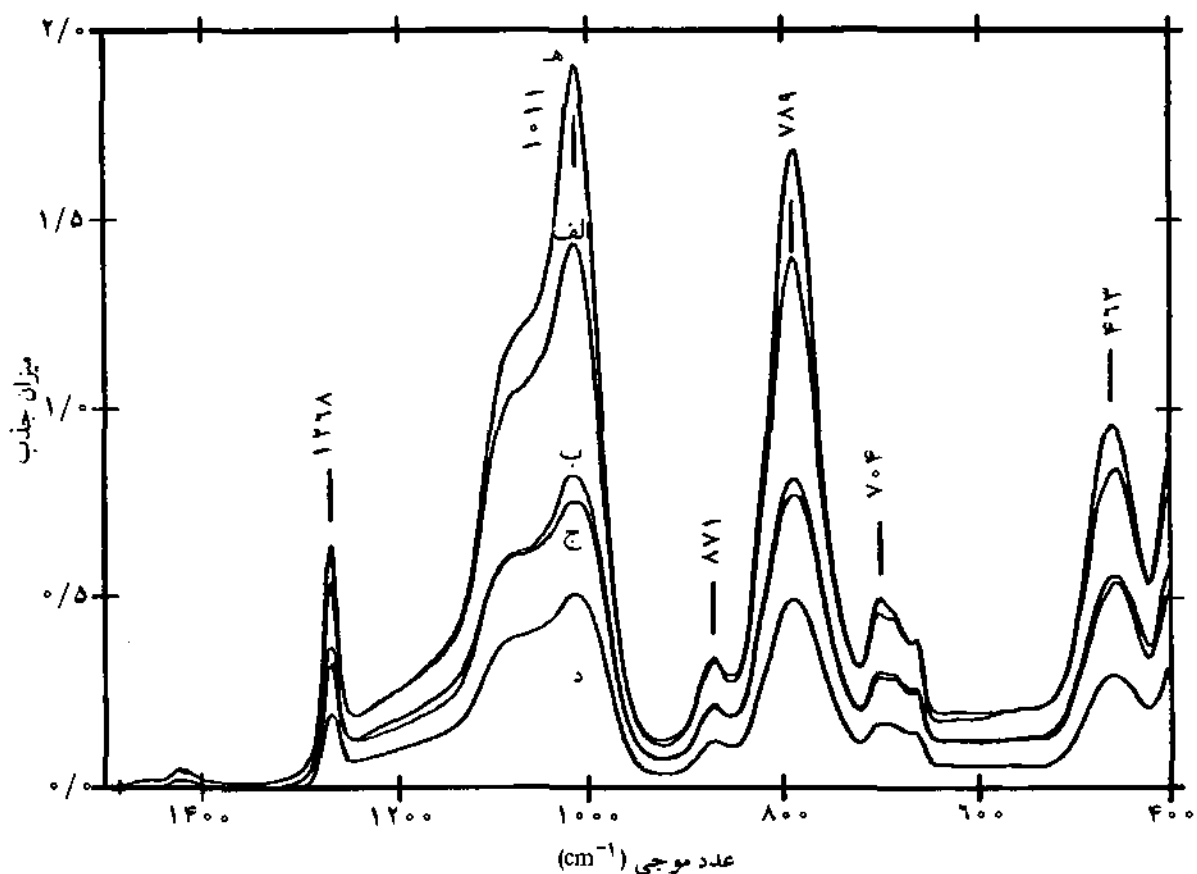
##### وولکانش PDMS

ابتدا الاستومر خام PDMS نوع طبی (Wacker - M ۳۰۹۰) با ۲ phr دی‌کربن دی‌کسید (DCP) در دمای  $90^{\circ}\text{C}$  و سیله آب  $90\%$  پخته شد. نمونه‌ای از آمیزه حاصل به ضخامت ۲mm تهیه و سپس توسط پرس گرمایی در دمای  $165^{\circ}\text{C}$  به مدت ۵ دقیقه در قالب پخت شد.

فیلم PDMS وولکانیده به ضخامت ۳mm تهیه شد و سپس عمل استغراج توسط دستگاه سوکسله (Soxhlet extraction) با استفاده از حلal تولوئن- متانول (به نسبت حجمی ۶۰ به ۴۰) در دمای  $60^{\circ}\text{C}$  به مدت ۲۴ ساعت انجام گرفت. در مرحله بعد نمونه‌ها در آون خلاء تا رسیدن به وزن ثابت خشک شدند.

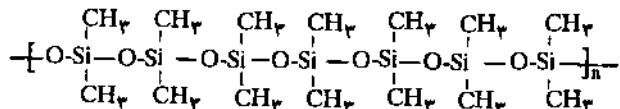
دلیل داشتن حداکثر و حداقل انرژی آزاد سطح (۱) خون‌سازگاری بسیار خوبی دارد. مشخص شده است که لخته به وسیله واکنش مواد موجود در خون و سطح پلیمر تشکیل می‌شود [۱۲]، به عبارت دیگر، جذب سطحی پروتئینها تا حد زیادی به انرژی سطح پلیمر بستگی دارد [۱۳، ۱۴].

در این پژوهش برای اصلاح خواص سطحی PDMS و تبدیل آن به یک پلیمر ابرآبزدا از یک لیزر ضربه‌ای کربن دی‌کسید با طول موج خاص استفاده شده است. با استفاده از این فن کاهش انرژی آزاد سطح برای بهبود خون‌سازگاری این پلیمر، بدون تغیر در خواص مکانیکی توده پلیمر، ممکن می‌شود. در ادامه آزمایشها سطح نمونه‌های پرتو دیده با قنون مختلف تجزیه و شناسایی شدن، همچنین شکل‌شناسی سطح مطالعه گردید. اشاره می‌شود که تاکنون هیچ گونه گزارشی در مورد اصلاح خواص سطحی PDMS به وسیله لیزر ضربه‌ای کربن دی‌کسید برای افزایش خون‌سازگاری آن گزارش نشده است و بر اساس اطلاعات موجود، این کار برای اولین بار صورت گرفته است. در این گزارش فنی نو برای تهیه پلیمرهای خون‌سازگار ارائه می‌شود.



شکل ۲- طیف ATR-FTIR نمونه‌های PDMS پرتو دیده با لیزر ضربه‌ای کربن دی‌کسید در طول موج  $9/58 \mu\text{m}$  ( $1043\text{cm}^{-1}$ ): پس از (الف) ۱ ضربه، (ب) ۵ ضربه، (ج) ۱۰ ضربه، (د) ۱۵ ضربه و (ه) نمونه شاهد.

## روض پرتودهی



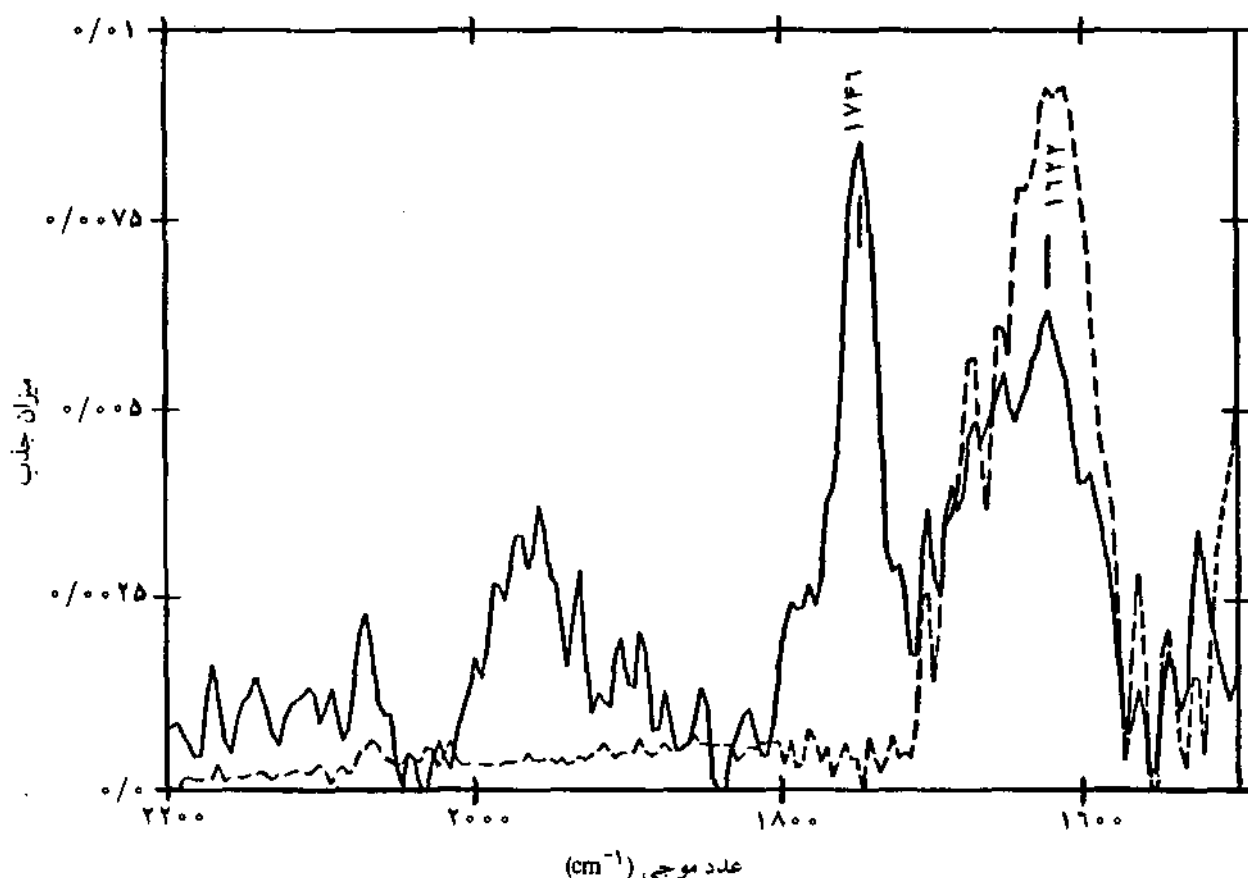
شکل ۳- ساختار الاستomer پلی‌دی‌متیل‌سیلوکسان (PDMS).

سرعت تکرار ضربه از  $1/\text{Hz}$  تا  $1/\text{MHz}$  در معرض پرتویز قرار گرفت. بعد از پرتودهی، نمونه‌ها از روی تسمه برداشته شدند. ابتدانمونه‌ها با استون شسته شدند و سپس با استفاده از مخلوط استون و آب دوبار تقطیر شده به نسبت حجمی  $50/50$  در دمای  $80^\circ\text{C}$  به مدت ۴۸ ساعت عمل شستشوی بعدی انجام گرفت. نمونه‌های شسته شده در آون خلاء در دمای  $50^\circ\text{C}$  تاریخی به وزن ثابت خشک شدند. تجزیه و شناسایی سطح PDMS برای بررسی تغییرات سطح نمونه‌های پرتو دیده با روش‌های زیر انجام گرفت:

- از روش بازتابندگی کلی تضعیف شده زیر قرمز تبدیل فوریه (ATR-FTIR) با منشور KRS-5 و زاویه عبور  $45^\circ$  استفاده شد. نوار

بهود سطح PDMS توسط لیزر ضربه‌ای کربن دیوکسید با روش پیش‌اکسایش انجام شد. به این منظور یک دستگاه متور قابل کنترل مجهز به تسمه نقاله ساخته شد، به طوری که پرتویز به طور عمودی و مستقیم به سطح فیلم PDMS که روی تسمه قرار داشت بخورد می‌کرد و هر دو طرف سطح PDMS پرتو می‌دید. بدین ترتیب تمام سطح فیلم پلیمر به وسیله لیزر ضربه‌ای در شرایط فشار و دمای محیط، در هوا و بدون استفاده از مواد شیمیایی و حساس‌کننده‌های نوری پرتودهی شد. در شکل ۱ چگونگی پرتودهی نمونه پلیمر با سیستم لیزر نشان داده شده است.

دستگاه لیزر ضربه‌ای کربن دیوکسید از نوع CO<sub>2</sub> Laser TEA-Lumonics-103-2 بود. طول موج پرتوها از  $1090\text{ nm}$  ( $10943\text{ cm}^{-1}$ ) تنظیم شد. یکنواختی روش‌نایابی (oscilloscope) پرتوها در هر ضربه با استفاده از یک نوسان‌نما (oscilloscope) در  $500\text{ MHz}$  ثبت گردید. هر نمونه در شرایط مشخص (قدرت پرتو از  $1\text{ mJ/cm}^2$ ، طول موج از  $1090\text{ nm}$  و زاویه عبور  $45^\circ$ ) استفاده شد. نوار

شکل ۴- طیف نمونه PDMS (—) طیف نمونه پرتو دیده با یک ضربه به وسیله لیزر ضربه‌ای کربن دیوکسید در طول موج  $10943\text{ cm}^{-1}$  و (---) نمونه شاهد.

ثبت گردید. ضریب ذخیره ( $E'$ ) نشان دهنده شقی و ضریب اتلاف ( $\tan\delta$ ) نشان دهنده خاصیت روان‌کشسانی الاستومر است.

۵- ابر آبزدایی نمونه‌های اصلاح شده با روش اندازه‌گیری زاویه تماس قطره آب با سطح نمونه‌ها مورد بررسی قرار گرفت. به این منظور ابتدا به وسیله میکروآمپول قطره‌های آب در سه نقطه مجزا روی سطح مستقر و سپس با بزرگنمایی ۵۰ بعد از ۵ دقیقه از آنها تصویربرداری شد. هر آزمایش سه بار تکرار و میانگین محاسبه شد.

۶- ضریب اصطکاک سطح نمونه‌های PDMS شاهد و نمونه‌های پرتو دیده با لیزر ضربه‌ای کربن دیوکسید مطابق روش استاندارد ASTM D-۱۸۹۴ اندازه گیری شد. برای این منظور از دستگاه Daventest Limited استفاده شد.

### نتایج و بحث

شکل ۲ (الف تا ه) طیفهای ATR-FTIR نمونه‌های PDMS پرتو دیده را به ترتیب بعد از دریافت ۱۰، ۵، ۱ و ۱۵ ضربه لیزر کربن دیوکسید نشان می‌دهد. طول موج به کار رفته مربوط به ماکسیمم جذب پیوندهای Si-O-Si پلی‌دی‌متیل‌سیلوکسان در  $1011\text{ cm}^{-1}$  است. شدت پیک در این طول موج در نمونه‌های پرتو دیده در مقایسه با نمونه شاهد کاهش پیدا کرده است. همان‌طور که در شکل ۲ نشان داده شده است، توارهای جذبی در طول موجهای ۷۸۹ و  $1011\text{ cm}^{-1}$  در  $1268\text{ cm}^{-1}$  نمونه اصلاح شده نیز کاهش نشان می‌دهد که مربوط به ارتعاش پیوندهای Si-O-Si و Si-CH<sub>۳</sub> در زنجیر PDMS (شکل ۲) است. کاهش جذب در طول موج  $1011\text{ cm}^{-1}$  و همچنین در توارهای جذبی دیگر دلیل روشی برای شکسته شدن زنجیرهای PDMS در سطح است.

همان‌طور که از شکل ۴ پیداست، نمونه PDMS پرتو دیده به وسیله لیزر ضربه‌ای کربن دیوکسید نوار جذبی قوی در ناحیه  $1736\text{ cm}^{-1}$  مربوط به گروه کربنات (-O-COO-) نشان می‌دهد. این پیک در اثر پرتو دهی سطح PDMS با لیزر ضربه‌ای کربن دیوکسید به وجود می‌آید و با پرتو دهی نمونه در محیط خشی (اتمسفر N<sub>۲</sub>) مشاهده نمی‌شود و دلیل روشی برای انجام واکنش اکسایش با پرتو دهی لیزر در طول موج  $58\mu\text{m}$  (۱۰۴۲ $\text{cm}^{-1}$ ) روی سطح PDMS است. شکل ۵ شدت پیک در طول موج  $1011\text{ cm}^{-1}$  نمونه‌های PDMS پرتو دیده را نسبت به تعداد ضربه‌های پرتو لیزر کربن دیوکسید نشان می‌دهد. همان‌طور که دیده می‌شود، شدت این پیکها با افزایش تعداد ضربه‌های لیزر کاهش می‌یابد. این مشاهده با نتایج حاصل از تجزیه EDXA توافق دارد، زیرا درصد عنصر اکسیژن روی سطح نمونه‌های پرتو دیده PDMS (شکل ۶ الف) در مقایسه با نمونه شاهد (شکل ۶ ب) افزایش نشان می‌دهد.

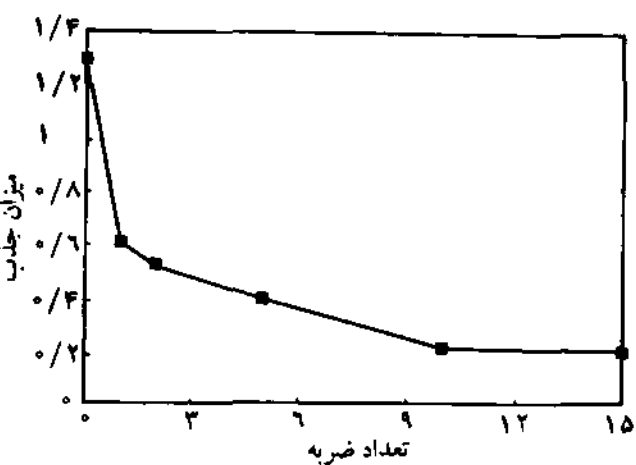
شکل ۷ ارتباط نسبت عناصر O/Si نمونه‌های پرتو دیده را به

جدبی در  $1011\text{ cm}^{-1}$  مربوط به گروه Si-O-Si پلی‌دی‌متیل‌سیلوکسان اندازه گیری شد. برای گرفتن طیفها دستگاه طیف‌نمای زیر قرمز تبدیل فوریه مدل بروکر ۸۸-FTIR (Bruker ۸۸-FTIR) مجهر به سیستم خلاه به کار گرفته شد. طیف گیری از نمونه‌ها با سرعت ۵۰ پویش (scan) در ثانیه انجام شد.

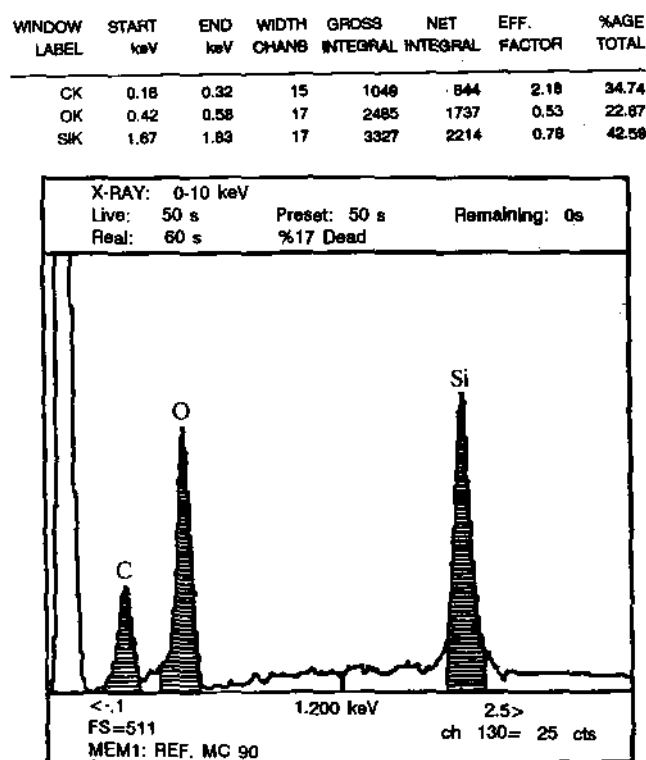
۲- برای بررسی میکروسکوپی، ابتدا نمونه‌های اصلاح شده با استفاده از یک پوشش دهنده پرانشی پلارون (Polaron sputter coater) با طلا پوشش داده شدند. از دستگاه میکروسکوب الکترونی کمپریج اس-۳۶۰ (Cambridge S-۳۶۰) با انرژی ۱۰ keV برای بررسی ساختار و شکل‌شناسی سطح و همچنین یکتواختی سطح نمونه‌های پرتو دیده استفاده شد.

۳- فن تجزیه اسرژی تفکیکی پرتو ایکس (EDXA) برای اندازه گیری عمق و یکتواختی و نسبت عناصر O/Si سطح نمونه‌ها به کار گرفته شد. از پنجره نازک بولیم (Be) و دستگاه EDXA مدل AN-۱۰۰۰۰ موجود روی سیستم SEM و ولتاژ ۵ تا ۶ کیلو ولت برای تهیه خط K<sub>a</sub> عناصر کربن، اکسیژن و سیلیسیم موجود در زنجیر پلیمر PDMS استفاده شد.

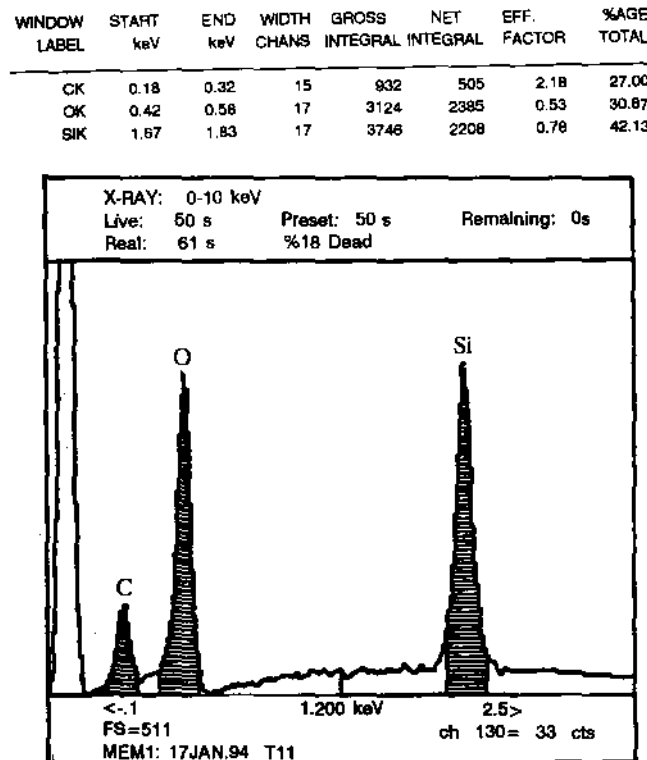
۴- خواص مکانیکی - دینامیکی نمونه‌های اصلاح شده و نمونه‌های شاهد به وسیله دستگاه تجزیه گرمایی مکانیکی - دینامیکی (Polymer Laboratories) مدل (DMTA) مورد بررسی قرار گرفت. نمونه‌ها در حالت خمشی تک پایه (single cantilever) در ۱۰/۰ و ۱۰ Hz و از دمای ۱۰۰-۱۰۰°C تا  $10^{\circ}\text{C}$  مرتعش شدند. برای هر نمونه ضریب ذخیره (storage modulus) و ضریب اتلاف (storage modulus) بر مبنای دما



شکل ۵- تغییرات شدت جذب زیر قرمز پیوند Si-O-Si نمونه PDMS در طول موج  $1011\text{ cm}^{-1}$  نسبت به تعداد ضربه‌های لیزر کربن دیوکسید.



(ب)



(الف)

شکل ۶ - تجزیه نمونه‌های EDXA: (الف) نمونه پر تودیده با سه ضربه پرتو لیزر ضربه‌ای کربن دیوکسید در طول موج  $9/58\mu\text{m}$  ( $10.43\text{cm}^{-1}$ ) و (ب) نمونه شاهد.

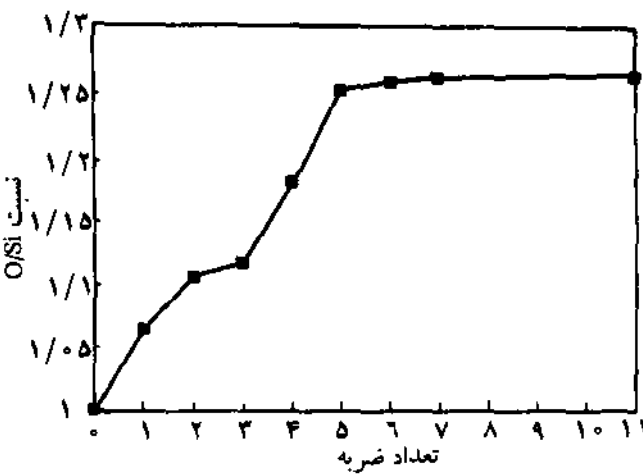
پر تودیده افزایش می‌باید و بعد از ۵ ضربه پرتو لیزر این نسبت تقریباً ثابت باقی می‌ماند.

تجزیه EDXA و همچنین طیفهای ATR-FTIR نشان می‌دهند که واکنش بهبود خواص سطحی PDMS وقتی توسط لیزر ضربه‌ای کربن دیوکسید انجام می‌شود که طول موج پرتو لیزر روی حد اکثر طول موج جذب زیر قرمز PDMS تنظیم شده باشد. مامعتقدیم که اصلاح سطح PDMS توسط لیزر ضربه‌ای کربن دیوکسید با برانگیختگی ارتعاشی پیوند Si-O-Si از طریق مکانیسم (infrared multiphoton dissociation) تفکیک چند فوتونی زیر قرمز (infrared multiphoton dissociation) انجام می‌شود [۱۹، ۲۰]. برطبق این مکانیسم رادیکالهای تشکیل شده در اثر پر تودیده بیلیزر ضربه‌ای به گروه  $-\text{CH}_2-$  زنجیر PDMS منتقل می‌شود و این گروه در مراحل بعد و در انتقال اکسیژن به گروههای کربونیل و کربنات و گروههای اکسیژن دار دیگر، تبدیل می‌شود. طرح احتمالی واکنش اکسایش سطح PDMS توسط پرتو لیزر در زیر نشان داده شده است:

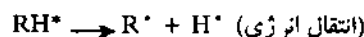
۱- مرحله آغازی



تعداد ضربه‌های لیزر نشان می‌دهد. همان‌طور که در شکل پیدا است با افزایش تعداد ضربه‌ها، نسبت عناصر O/Si روی سطح نمونه‌ها



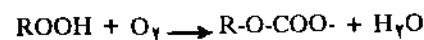
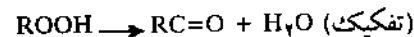
شکل ۷ - تغییرات نسبت عناصر O/Si نمونه پر تودیده با افزایش تعداد ضربه‌های لیزر کربن دیوکسید در طول موج  $9/58\mu\text{m}$  ( $10.43\text{cm}^{-1}$ ).



۲ - مرحله انتشار



۳ - مرحله پایانی



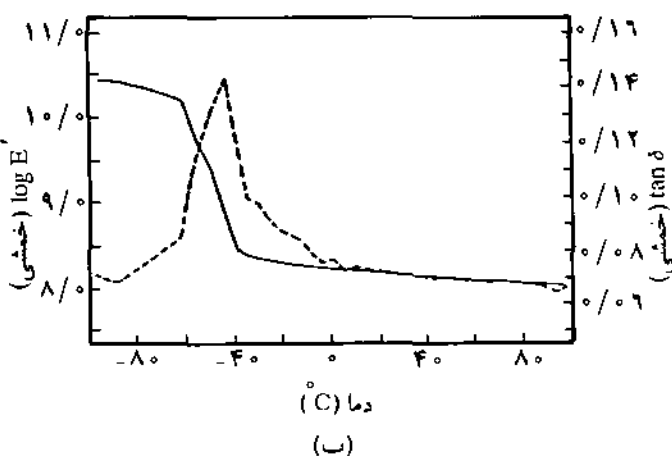
از میان واکنشهای اکسایش ممکن برای توضیع نتایج، احتمال انجام واکنشهای ۱، ۲ و ۳ توسط پرتو لیزر روی سطح PDMS بیشتر است. با وجود این، به صراحت نمی‌توان گفت که واکنشهای بالا تها و واکنشهای ممکن اکسایش سطح است، زیرا شناسایی تمام واکنشها ممکن نیست.

برای مطالعه خواص مکانیکی توده پلیمر، نمونه‌های اصلاح شده PDMS با دستگاه تعزیره گرمایی مکانیکی - دینامیکی (DMTA) آزمایش شدند. تغییرات ضریب ذخیره  $E'$  و ضریب اتلاف ( $\tan \delta$ ) نسبت به دما برای نمونه‌های اصلاح شده و شاهد در شکل ۸ (الف) و (ب) به ترتیب نشان داده شده است. همان‌طور که دیده می‌شود  $\tan \delta_{\max}$  برای نمونه PDMS اصلاح شده (شکل ۸ (الف)) و شاهد (شکل ۸ (ب)) در ناحیه دمایی آزمایشها، بیکسان است.  $E'$  در  $\tan \delta$  هر دو ارتباط مستقیم به ساختار مکانیکی توده پلیمر دارند. همان‌طور که قبل اشاره شد  $E'$  معرف شقی و  $\tan \delta$  معرف خاصیت روان‌کشسانی الاستومر است. با توجه به شکل ۸ می‌توان نتیجه گرفت که علی‌رغم تغییر خواص در نواحی سطحی، ساختار توده پلیمر و در نهایت خواص مکانیکی نمونه‌های اصلاح شده توسط پرتو لیزر نسبت به نمونه شاهد تغییر

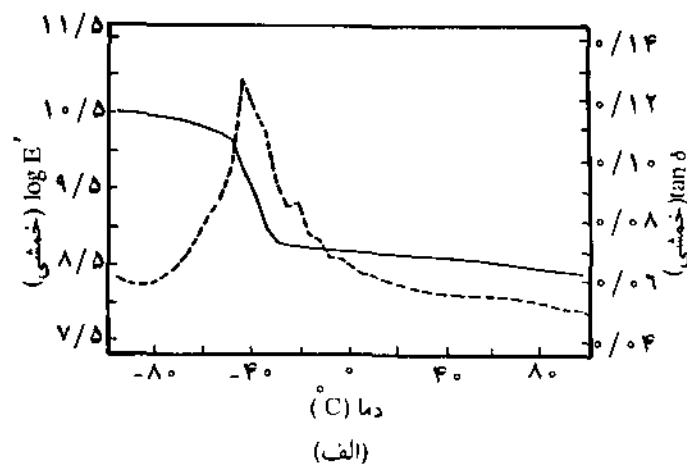
(الف)

(ب)

شکل ۹ - زاویه تماس قطره آب با سطح PDMS (الف) نمونه پرتو دیده با سه ضربه لیزر ضربه‌ای کربن دیوکسید در طول موج  $9/58 \mu\text{m}$  ( $1043 \text{ cm}^{-1}$ ) و (ب) نمونه شاهد.

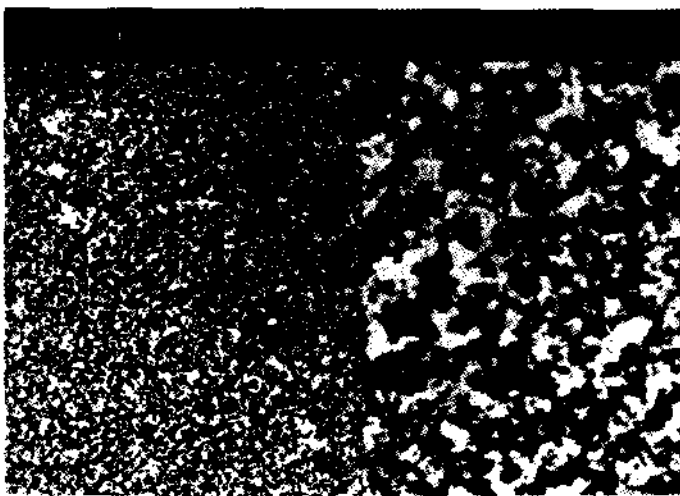


(ب)



(الف)

شکل ۸ - تغییرات ضریب ذخیره (—) و ضریب اتلاف انرژی (---) برای (الف) نمونه پرتو دیده با سه ضربه لیزر ضربه‌ای کربن دیوکسید در طول موج  $9/58 \mu\text{m}$  ( $1043 \text{ cm}^{-1}$ ) و (ب) نمونه شاهد.



(الف)



(ب)



(ج)

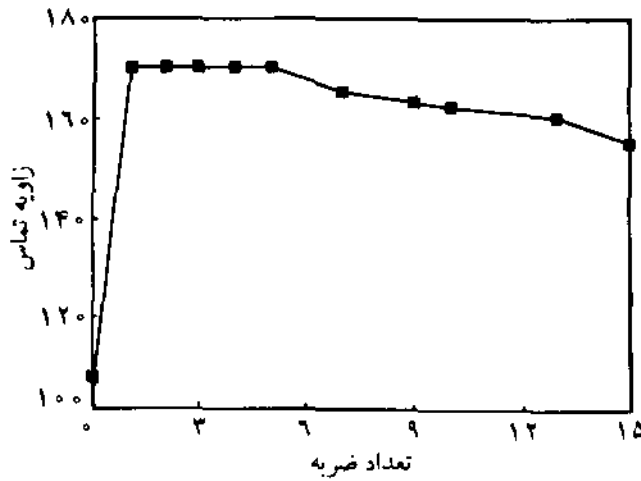
شکل ۱۱ - تصویر میکروسکوب الکترونی پویشی PDMS: (الف) نمونه پر تودیده با سه ضربه پر تولیز کریں دیوکسید در طول موج  $9 / 58 \mu\text{m} (1042\text{cm}^{-1})$ ، (ب) نمایش یکنواختی خلل و فرج سطح نمونه پر تودیده و (ج) نمونه شاهد.

نمی کند که از مزیتهای روش لیزری نسبت به سایر روشهاست [۲] تغییر آبزدایی نمونه اصلاح شده و شاهد در شکل ۹ الف و ب به ترتیب نشان داده شده است.

تغییرات زاویه تماس قطره آب نسبت به افزایش تعداد ضربه های پر تولیز در شکل ۱۰ نشان داده شده است. همان طور که از این شکل پیداست، زاویه تماس قطره آب با سطح پلیمر با از دیاد تعداد ضربه های پر تولیز افزایش می یابد و پس از ۵ ضربه پر تولیز این زاویه سیر تزویی پیدا می کند. از این آزمایش می توان تیجه گرفت که خواص سطحی نمونه های PDMS پر تودیده نسبت به نمونه شاهد تغییر می کند و یک سطح ابر آبزدا به دست می آید. همان طور که قبلا اشاره شد، علت آبزدایی سطح پلیمر شاید به دلیل حضور گروههای  $\text{-O-COO-}$  باشد که بار منفی دارند و در تماس قطره آب با اتم اکسیژن نوعی دافعه (repulsion) ایجاد می شود که مانع از پخش شدن قطره آب روی سطح پلیمر می گردد، هرچند که تخلخل سطح نیز می تواند اثر زیادی بر آبزدایی آن داشته باشد [۲۰]. زنگ و سایر پژوهشگران گزارش کردند که نمونه پلیمر خون سازگار (پر وتر عروقی) دارای گروههای  $\text{-O-COO-}$  در سطح پلیمر بوده و به شدت آبزد است [۲۱].

تصویرهای میکروسکوب الکترونی در شکل ۱۱ الف و ب نشان داده شده است. این تصویرها همگنی و یکنواختی تخلخل یا حفره های ایجاد شده روی سطح نمونه های PDMS را توسط لیزر ضربه ای کریں دیوکسید نشان می دهند. تصویر میکروسکوب الکترونی نمونه شاهد نیز برای مقایسه در شکل ۱۱ ج ارائه شده است. پهنهای حفره ها در محدوده  $1\text{ }\mu\text{m} / ۵ / ۰$  است.

اتسوهاتا و پژوهشگران دیگر گزارش کردند که وجود

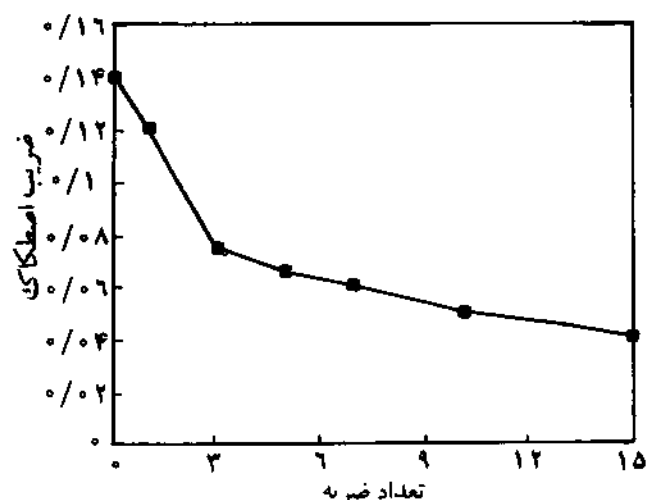


شکل ۱۰ - تغییرات زاویه تماس قطره آب با سطح نمونه های پر تودیده PDMS نسبت به تعداد ضربه های لیزر کریں دیوکسید در طول موج  $9 / 58 \mu\text{m} (1042\text{cm}^{-1})$ .

فوتوونی انجام می شود. نمونه های پر تودیده، کاهش قابل توجهی در خاصیت آبرآردایی نشان می دهند از جمله اینکه ضریب اصطکاک نمونه های اصلاح شده نسبت به نمونه شاهد نیز به شدت کاهش می یابد. همچنین مشخص شد که این تغییرات به تعداد ضربه های پر تولیزr بستگی دارند. ساختار تسوده پلیمر و همچنین خواص مکانیکی آن در اثر پر توده توسط لیزر ضربه ای کردن دیوکسید تغییر نمی کند.

#### مراجع

- 1 Decker C. and Moussa K.; *Radiation Curing of Polymer Materials ACS Symposium Series*; Hoyle C.E. and Kinstle J.F (Ed.); **417**, 446, 1990.
- 2 Mirzadeh H., Katbab A.A., Khorasani M.T. and Burford R.P.; *Die Angewandte Makromolekulare Chemie*; **15**, 23, 1994.
- 3 - میرزاده حمید، کتاب علی اصغر، خراسانی محمد تقی، برフォرد رابرт، مجله علوم و تکنولوژی پلیمر، سال ششم، شماره ۱، صفحه ۴، اردیبهشت ۱۳۷۲
- 4 - میرزاده حمید، کتاب علی اصغر، خراسانی محمد تقی، برフォرد رابرт، مجله علوم و تکنولوژی پلیمر، سال هفتم، شماره ۳، صفحه ۱۶۰، آبان ۱۳۷۳.
- 5 Sadhir R.K., Smith G.D.B. and Castle P.M.; *Biomaterials*; **30**, 589, 1992.
- 6 Mirzadeh H., Khorasani M.T., Katbab A.A., Burford R.P., Soheili Z., Golestani A. and Goliae B.; *Biomaterials*; **16**, 4, 1995.
- 7 Pascal P., Napper D.H., Gilbert R.G., Piton M.C. and Winnik M.A.; *Macromolecules*; **23**, 5116, 1990.
- 8 Morton M.; *Rubber Technology*; Third ed., 375, Reinhold, New York, 1987.
- 9 Brydson J.A.; *Rubber Chemistry*; Third ed., Applied Science, London, 396-406, 1978.
- 10 Park J.B. and Lakes R.S.; *Biomaterials, An Introduction*; Second ed., 2-3, 158-159, Plenum Press, New York, 1992.
- 11 Neu T.R., Vander Mel H.C., Busscher H.J., Dijk F. and Verkerke G.J.; *Biomaterials*; **14**, 459, 1993.
- and Horbett T.A. (Eds.), Plenum Press, New York, 135-147, 1984.
- 13 Ranter B.D., Hoffman A.S., Hanson S.R., Harker L.A. and



شکل ۱۲ - تغییرات ضریب اصطکاک نمونه PDMS پر تودیده نسبت به تعداد ضربه های لیزر کردن دیوکسید.

تخلخل روی سطح پلیمر و همچنین خاصیت ابرآبرآردایی، از عوامل مهم موثر بر خون و بافت سازگاری سطوح پلیمری است [۱۲، ۲۲، ۲۳] در گزارش دیگری نتایج بورسی خوبن سازگاری نمونه ها منتشر خواهد شد. موضوع جالب توجه دیگر این است که وقتی سطح PDMS توسط لیزر ضربه ای کردن دیوکسید پر توده می شود، سطح نمونه بسیار لغزنه می گردد که این خصوصیت با اندازه گیری ضریب اصطکاک نمایان می شود. همان طور که در شکل ۱۲ نشان داده شده است، ضریب اصطکاک نمونه لاستیک PDMS شاهد در حدود ۱۴٪ است. ولی، با انجام پر توده توسط لیزر ضربه ای کردن دیوکسید این مقدار به شدت کاهش می یابد، به طوری که با پر توده ۱۵ ضربه پر تولیزr مقدار ضریب اصطکاک به ۰۰۳۵٪ رسید که نشان دهنده کاهش زیاد چسبندگی سطح الاستومر PDMS در اثر پر توده است. این ویژگی یعنی کاهش چسبندگی برای پروترهای خونی بسیار ضروری است.

#### نتیجه گیری

نتایج نشان می دهند که به وسیله پر تولیزr ضربه ای کردن دیوکسید می توان ساختار سطحی PDMS را بدون استفاده از حساس کننده های نوری اصلاح کرد. سطوح اصلاح شده دارای حفره های همگن و یکنواخت در حدود چند صد نانومتر است. سطح الاستومر PDMS وقتی به وسیله پر تولیزr ضربه ای کردن دیوکسید اصلاح می شود که طول موج لیزر منطبق بر حداکثر جذب IR این پلیمر باشد. ما معتقدیم که اصلاح سطح PDMS توسط لیزر ضربه ای کردن دیوکسید با برانگیختگی ارتعاشی پیوند Si-O-Si از راه مکانیسم شکست چند

- 19 Wodtke A.M., Hinsta E.J. and Lee Y.T.; *J.Phys. Chem.*; **90**, 3549, 1986.
- 20 Schmidt J.A. and Andreas Von Recum F.; *Biomaterials*; **13**, 1059, 1992.
- 21 Zhang Z., King M.W., Guidoin R., Therrien M., Pezolet M., Adont A., Ukpabi P. and Helene M.; *Biomaterials*; **15**, 483, 1994.
- 22 Otsuhata K., Razzak M.T., Casranares R.L., Tabata Y., Ohashi F. and Takeuchi A.; *Radiat. Phys. Chem.*; **25**, 537, 1985.
- 23 Mathew J., Liu S.Q. and Kodaman M.; *Biomaterials*; **13**, 1051, 1992.
- Wiffen J.D.; *J. Polym. Sci., Polym. Symp.*; **66**, 363, 1979.
- 14 Coleman D.L., Gregonis D.E. and Andrade J.A.; *J. Biomed. Mater. Res.*; **16**, 38, 1982.
- 15 Zhao Y., Hinsta E.J. and Lee Y.T.; *J. Phys. Chem.*; **88**, 801, 1988.
- 16 Hinsta E.J., Wodtke A.M. and Lee Y.T.; *J. Phys. Chem.*; **92**, 5387, 1988.
- 17 Pola J., Beckers H. and Burger H.; *Chem. Phys. Lett.*; **178**, 192, 1991.
- 18 Pola J., Vitek J., Polyakov Y.P., Guselnikov L.E., Matreyecher P.M., Bashkirova S.A., Tlaskal J. and Mayer R.; *J. Appl. Organomet. Chem.*; **5**, 56, 1991.